PROVINCIA DI MATERA

CONSOLIDAMENTO E MESSA IN SICUREZZA DELLA SP 95 MONTALBANO JONICO E DELLA SP 73 SCANZANO MARE

PROGETTO ESECUTIVO

Committente:
PROVINCIA DI MATERA

Progettazione:
Ing. Nicola Montesano
Studio in via Med. D'Oro Sinisi n. 34
75025 Policoro (MT)
Cell. 339 5385472
Pec: nicola.montesano2@ingpec.eu

Elaborato:

Prog-73-08

Scala: //

Titolo:

Progetto interventi su SP73:

RELAZIONE DI CALCOLO DELLE STRUTTURE

Emissione:	00	Data:	Agosto 2021	Codice:	//
Revisione:	01	Data:	Marzo 2022	Codice:	//

MURO DI SOSTEGNO

Relazione di calcolo, geotecnica e suo materiali

La presente relazione è redatta allo scopo di illustrare il modello numerico, il metodo di analisi, ed i criteri di verifica adottati per la progettazione di un **muro di sostegno in c.a.**, da realizzare a valle della **s.p. Scanzano/Mare** ubicata nel Comune di Scanzano (MT).
Le verifiche geotecniche e strutturali dell'opera di cui in oggetto sono state condotte nel rispetto delle attuali Norme Tecniche per le costruzioni di cui al D.M. 17 Gennaio 2018 (**NTC2018**).
La natura del dissesto, la sua origine ed estensione è ampiamente descritta nella relazione geologica in allegato a cui si rimanda per maggiori approfondimenti.

Normative di riferimento

- Legge nr. 1086 del 05/11/1971.
Norme per la disciplina delle opere in conglomerato cementizio, normale e precompresso ed a struttura metallica.
- Legge nr. 64 del 02/02/1974.
Provvedimenti per le costruzioni con particolari prescrizioni per le zone sismiche.
- D.M. LL.PP. del 11/03/1988.
Norme tecniche riguardanti le indagini sui terreni e sulle rocce, la stabilità dei pendii naturali e delle scarpate, i criteri generali e le prescrizioni per la progettazione, l'esecuzione e il collaudo delle opere di sostegno delle terre e delle opere di fondazione.
- D.M. LL.PP. del 14/02/1992.
Norme tecniche per l'esecuzione delle opere in cemento armato normale e precompresso e per le strutture metalliche.
- D.M. 9 Gennaio 1996
Norme Tecniche per il calcolo, l' esecuzione ed il collaudo delle strutture in cemento armato normale e precompresso e per le strutture metalliche
- D.M. 16 Gennaio 1996
Norme Tecniche relative ai 'Criteri generali per la verifica di sicurezza delle costruzioni e dei carichi e sovraccarichi'
- D.M. 16 Gennaio 1996
Norme Tecniche per le costruzioni in zone sismiche
- Circolare Ministero LL.PP. 15 Ottobre 1996 N. 252 AA.GG./S.T.C.
Istruzioni per l'applicazione delle Norme Tecniche di cui al D.M. 9 Gennaio 1996
- Circolare Ministero LL.PP. 10 Aprile 1997 N. 65/AA.GG.
Istruzioni per l'applicazione delle Norme Tecniche per le costruzioni in zone sismiche di cui al D.M. 16 Gennaio 1996
- Norme Tecniche per le Costruzioni 2018 (D.M. 17 Gennaio 2018)
- Circolare C.S.LL.PP. 21/01/2019 n.7 - Istruzioni per l'applicazione dell'Aggiornamento delle Norme tecniche per le costruzioni di cui al D.M. 17 gennaio 2018

Richiami teorici

Il calcolo dei muri di sostegno viene eseguito secondo le seguenti fasi:
- Calcolo della spinta del terreno
- Verifica a ribaltamento
- Verifica a scorrimento del muro sul piano di posa
- Verifica della stabilità complesso fondazione terreno (carico limite)
- Verifica della stabilità globale

Se il muro è in calcestruzzo armato: Calcolo delle sollecitazioni sia del muro che della fondazione, progetto delle armature e relative verifiche dei materiali.
Se il muro è a gravità: Calcolo delle sollecitazioni sia del muro che della fondazione e verifica in diverse sezioni al ribaltamento, allo scorrimento ed allo schiacciamento.

Calcolo della spinta sul muro

Valori caratteristici e valori di calcolo

Effettuando il calcolo tramite gli Eurocodici è necessario fare la distinzione fra i parametri caratteristici ed i valodi di calcolo (o di progetto) sia delle azioni che delle resistenze.
I valori di calcolo si ottengono dai valori caratteristici mediante l'applicazione di opportuni coefficienti di sicurezza parziali γ. In particolare si distinguono combinazioni di carico di tipo **A1-M1** nelle quali vengono incrementati i carichi e lasciati inalterati i parametri di resistenza del terreno e combinazioni di carico di tipo **A2-M2** nelle quali vengono ridotti i parametri di resistenza del terreno e incrementati i soli carichi variabili.

Metodo di Culmann

Il metodo di Culmann adotta le stesse ipotesi di base del metodo di Coulomb. La differenza sostanziale è che mentre Coulomb considera un terrapieno con superficie a pendenza costante e carico uniformemente distribuito (il che permette di ottenere una espressione in forma chiusa per il coefficiente di spinta) il metodo di Culmann consente di analizzare situazioni con profilo di forma generica e carichi sia concentrati che distribuiti comunque disposti. Inoltre, rispetto al metodo di Coulomb, risulta più immediato e lineare tener conto della coesione del masso spingente. Il metodo di Culmann, nato come metodo essenzialmente grafico, si è evoluto per essere trattato mediante analisi numerica (noto in questa forma come metodo del cuneo di tentativo). Come il metodo di Coulomb anche questo metodo considera una superficie di rottura rettilinea.
I passi del procedimento risolutivo sono i seguenti:
- si impone una superficie di rottura (angolo di inclinazione ρ rispetto all'orizzontale) e si considera il cuneo di spinta delimitato dalla superficie di rottura stessa, dalla parete su cui si calcola la spinta e dal profilo del terreno;
- si valutano tutte le forze agenti sul cuneo di spinta e cioè peso proprio *(W)*, carichi sul terrapieno, resistenza per attrito e per coesione lungo la superficie di rottura *(R e C)* e resistenza per coesione lungo la parete *(A)*;
- dalle equazioni di equilibrio si ricava il valore della spinta S sulla parete.

Questo processo viene iterato fino a trovare l'angolo di rottura per cui la spinta risulta massima.
La convergenza non si raggiunge se il terrapieno risulta inclinato di un angolo maggiore dell'angolo d'attrito del terreno.
Nei casi in cui è applicabile il metodo di Coulomb (profilo a monte rettilineo e carico uniformemente distribuito) i risultati ottenuti col metodo di Culmann coincidono con quelli del metodo di Coulomb.
Le pressioni sulla parete di spinta si ricavano derivando l'espressione della spinta S rispetto all'ordinata *z*. Noto il diagramma delle pressioni è possibile ricavare il punto di applicazione della spinta.

Spinta in presenza di falda

Nel caso in cui a monte del muro sia presente la falda il diagramma delle pressioni sul muro risulta modificato a causa della sottospinta che l'acqua esercita sul terreno. Il peso di volume del terreno al di sopra della linea di falda non subisce variazioni. Viceversa al di sotto del livello di falda va considerato il peso di volume di galleggiamento

$$\gamma' = \gamma_{sat} - \gamma_w$$

dove γ_{sat} è il peso di volume saturo del terreno (dipendente dall'indice dei pori) e γ_w è il peso specifico dell'acqua. Quindi il diagramma delle pressioni al di sotto della linea di falda ha una pendenza minore. Al diagramma così ottenuto va sommato il diagramma triangolare legato alla pressione idrostatica esercitata dall'acqua.

Spinta in presenza di sisma

Per tener conto dell'incremento di spinta dovuta al sisma si fa riferimento al metodo di Mononobe-Okabe (cui fa riferimento la Normativa Italiana).
La Normativa Italiana suggerisce di tener conto di un incremento di spinta dovuto al sisma nel modo seguente.
Detta ε l'inclinazione del terrapieno rispetto all'orizzontale e β l'inclinazione della parete rispetto alla verticale, si calcola la spinta *S'* considerando un'inclinazione del terrapieno e della parte pari a

$$\varepsilon' = \varepsilon + \theta \qquad \beta' = \beta + \theta$$

dove θ = arctg(k_h/(1±k_v)) essendo k_h il coefficiente sismico orizzontale e k_v il coefficiente sismico verticale, definito in funzione di k_h.
In presenza di falda a monte, θ assume le seguenti espressioni:

Terreno a bassa permeabilità

$$\theta = \arctan\left(\frac{\gamma_{sat}}{\gamma_{sat} - \gamma_w}\frac{k_h}{1 \pm k_v}\right)$$

Terreno a permeabilità elevata

$$\theta = \arctan\left(\frac{\gamma}{\gamma_{sat} - \gamma_w}\frac{k_h}{1 \pm k_v}\right)$$

Detta *S* la spinta calcolata in condizioni statiche l'incremento di spinta da applicare è espresso da

$$\Delta S = AS' - S$$

dove il coefficiente *A* vale

$$A = \frac{\cos^2(\beta + \theta)}{\cos^2\beta\cos\theta}$$

In presenza di falda a monte, nel coefficiente *A* si tiene conto dell'influenza dei pesi di volume nel calcolo di θ.
Adottando il metodo di Mononobe-Okabe per il calcolo della spinta, il coefficiente *A* viene posto pari a 1.
Tale incremento di spinta è applicato a metà altezza della parete di spinta nel caso di forma rettangolare del diagramma di incremento sismico, allo stesso punto di applicazione della spinta statica nel caso in cui la forma del diagramma di incremento sismico è uguale a quella del diagramma statico.
Oltre a questo incremento bisogna tener conto delle forze d'inerzia orizzontali e verticali che si destano per effetto del sisma. Tali forze vengono valutate come

$$F_{iH} = k_h W \qquad F_{iV} = \pm k_v W$$

dove *W* è il peso del muro, del terreno soprastante la mensola di monte ed i relativi sovraccarichi e va applicata nel baricentro dei pesi.
Il metodo di Culmann tiene conto automaticamente dell'incremento di spinta. Basta inserire nell'equazione risolutiva la forza d'inerzia del cuneo di spinta. La superficie di rottura nel caso di sisma risulta meno inclinata della corrispondente superficie in assenza di sisma.

Verifica a ribaltamento

La verifica a ribaltamento consiste nel determinare il momento risultante di tutte le forze che tendono a fare ribaltare il muro (momento ribaltante M_r) ed il momento risultante di tutte le forze che tendono a stabilizzare il muro (momento stabilizzante M_s) rispetto allo spigolo a valle della fondazione e verificare che il rapporto M_s/M_r sia maggiore di un determinato coefficiente di sicurezza η_r.
Deve quindi essere verificata la seguente diseguaglianza:

$$\frac{M_s}{M_r} \geq \eta_r$$

Il momento ribaltante M_r è dato dalla componente orizzontale della spinta *S*, dalle forze di inerzia del muro e del terreno gravante sulla fondazione di monte (caso di presenza di sisma) per i rispettivi bracci. Nel momento stabilizzante interviene il peso del muro (applicato nel baricentro) ed il peso del terreno gravante sulla fondazione di monte. Per quanto riguarda invece la componente verticale della spinta essa sarà stabilizzante se l'angolo d'attrito terra-muro δ è positivo, ribaltante se δ è negativo. δ è positivo quando è il terrapieno che scorre rispetto al muro, negativo quando è il muro che tende a scorrere rispetto al terrapieno (questo può essere il caso di una spalla da ponte gravata da carichi notevoli). Se sono presenti dei tiranti essi contribuiscono al momento stabilizzante.
Questa verifica ha significato solo per fondazione superficiale e non per fondazione su pali.

Verifica a scorrimento

Per la verifica a scorrimento del muro lungo il piano di fondazione deve risultare che la somma di tutte le forze parallele al piano di posa che tendono a fare scorrere il muro deve essere minore di tutte le forze, parallele al piano di scorrimento, che si oppongono allo scivolamento, secondo un certo coefficiente di sicurezza. La verifica a scorrimento sisulta soddisfatta se il rapporto fra la risultante delle forze resistenti allo scivolamento F_r e la risultante delle forze che tendono a fare scorrere il muro F_s risulta maggiore di un determinato coefficiente di sicurezza η_s

$$\frac{F_r}{F_s} \geq \eta_s$$

Le forze che intervengono nella F_s sono: la componente della spinta parallela al piano di fondazione e la componente delle forze d'inerzia parallela al piano di fondazione.

La forza resistente è data dalla resistenza d'attrito e dalla resistenza per adesione lungo la base della fondazione. Detta *N* la componente normale al piano di fondazione del carico totale gravante in fondazione e indicando con δ_f l'angolo d'attrito terreno-fondazione, con c_a l'adesione terreno-fondazione e con B_r la larghezza della fondazione reagente, la forza resistente può esprimersi come

$$F_r = N \tan \delta_f + c_a B_r$$

La Normativa consente di computare, nelle forze resistenti, una aliquota dell'eventuale spinta dovuta al terreno posto a valle del muro. In tal caso, però, il coefficiente di sicurezza deve essere aumentato opportunamente. L'aliquota di spinta passiva che si può considerare ai fini della verifica a scorrimento non può comunque superare il 50 percento.
Per quanto riguarda l'angolo d'attrito terra-fondazione, δ_f, diversi autori suggeriscono di assumere un valore di δ_f pari all'angolo d'attrito del terreno di fondazione.

Verifica al carico limite

Il rapporto fra il carico limite in fondazione e la componente normaledella risultante dei carichi trasmessi dal muro sul terreno di fondazione deve essere superiore a η_q. Cioè, detto Q_u, il carico limite ed *R* la risultante verticale dei carichi in fondazione, deve essere:

$$\frac{Q_u}{R} \geq \eta_q$$

Cascone ha proposto la seguente espressione per il calcolo della capacità portante di una fondazione superficiale.

$$q_u = cN_c s_c + qN_q + 0.5B\gamma N_{\gamma E} s_\gamma$$

La simbologia adottata è la seguente:
c coesione del terreno in fondazione;
ϕ angolo di attrito del terreno in fondazione;
γ peso di volume del terreno in fondazione;
B larghezza della fondazione;
D profondità del piano di posa;
q pressione geostatica alla quota del piano di posa.

I fattori di capacità portante sono espressi dalle seguenti relazioni:

Fattori di capacità portante	$N_c = (N_q - 1)\operatorname{cotg}\varphi$	$N_q = \frac{a^2}{2\cos^2\left(45 + \frac{\varphi}{2}\right)}$ dove $e^{\left(0.75\pi - \frac{\varphi}{2}\right)\tan\varphi}$	$N_\gamma = \frac{\tan\varphi}{2}\left(\frac{K_{p\gamma}}{\cos^2\varphi} - 1\right)$	
Fattori di forma	$s_c = 1$ $s_c = 1.3$		$s_\gamma = 1$ $s_\gamma = 0.8$	per fondazioni nastriformi per fondazioni quadrate

Il termine $K_{p\gamma}$ che compare nell'espressione di N_γ non ha un'espressione analitica. Pertanto si assume per N_γ l'espressione proposta da Meyerhof

$$N_\gamma = \left(N_q - 1\right)\tan\left(1.4\varphi\right)$$

$$N_{\gamma E} = N_\gamma e_{\gamma k} e_{\gamma i}$$

dove:
$e_{\gamma k}$ è un coeff. correttivo che tiene conto dell'effetto cinematico
$e_{\gamma i}$ è un coeff. correttivo che tiene conto dell'effetto inerziale

$e_{\gamma k} = \left(1 - \frac{K_{hk}}{\tan\varphi}\right)^{0.45}$	$e_{\gamma i} = \left(1 - 0.7\frac{K_{hi}}{\tan\varphi}\right)^{0.50}$

K_{hk} è il valore del coeff. di accelerazione sismica orizzontale del terreno
K_{hi} è il valore del coeff. di accelerazione sismica orizzontale della struttura

Riduzione per eccentricità del carico

Nel caso in cui il carico al piano di posa della fondazione risulta eccentrico, Meyerhof propone di moltiplicare la capacità portante ultima per un fattore correttivo R_e

$R_e = 1.0 - 2.0\frac{e}{B}$	per terreni coesivi
$R_e = 1.0 - \sqrt{\frac{e}{B}}$	per terreni incoerenti

con e eccentricità del carico e B la dimensione minore della fondazione.

Riduzione per effetto piastra

Per valori elevati di B (dimensione minore della fondazione), Bowles propone di utilizzare un fattore correttivo r_γ del solo termine sul peso di volume (0.5 B γ N_γ) quando B supera i 2 m.

$$r_\gamma = 1.0 + 0.25 \log \frac{B}{2.0}$$

Il termine sul peso di volume diventa:

$$0.5 B \gamma N_\gamma r_\gamma$$

Verifica alla stabilità globale

La verifica alla stabilità globale del complesso muro+terreno deve fornire un coefficiente di sicurezza non inferiore a η_g.

Viene usata la tecnica della suddivisione a strisce della superficie di scorrimento da analizzare. La superficie di scorrimento viene supposta circolare e determinata in modo tale da non avere intersezione con il profilo del muro.Si determina il minimo coefficiente di sicurezza su una maglia di centri di dimensioni 10x10 posta in prossimità della sommità del muro. Il numero di strisce è pari a 25.

Si adotta per la verifica di stabilità globale il metodo di Bishop.

Il coefficiente di sicurezza nel metodo di Bishop si esprime secondo la seguente formula:

$$\eta = \frac{\sum_{i=0}^{n} \left[\frac{c_i b_i + (W_i - u_i b_i) \tan \varphi_i}{m} \right]}{\sum_{i=0}^{n} W_i \sin \alpha_i}$$

dove il termine *m* è espresso da

$$m = \left(1 + \frac{\tan \varphi_i \tan \alpha_i}{\eta} \right) \cos \alpha_i$$

In questa espressione *n* è il numero delle strisce considerate, b_i e α_i sono la larghezza e l'inclinazione della base della striscia i_{esima} rispetto all'orizzontale, W_i è il peso della striscia i_{esima} , c_i e ϕ_i sono le caratteristiche del terreno (coesione ed angolo di attrito) lungo la base della striscia ed u_i è la pressione neutra lungo la base della striscia.
L'espressione del coefficiente di sicurezza di Bishop contiene al secondo membro il termine *m* che è funzione di η. Quindi essa viene risolta per successive approsimazioni assumendo un valore iniziale per η da inserire nell'espressione di *m* ed iterare finquando il valore calcolato coincide con il valore assunto.

Cedimenti della fondazione

Metodo Edometrico

Il metodo edometrico è il classico procedimento per il calcolo dei cedimenti in terreni a grana fina, proposto da Terzaghi negli anni '20. L'ipotesi edometrica è verificata con approssimazione tanto migliore quanto più ridotto è il valore del rapporto tra lo spessore dello strato compressibile e la dimensione in pianta della fondazione.
Tuttavia il metodo risulta dotato di ottima approssimazione anche nei casi di strati deformabili di grande spessore.

L'implementazione del metodo è espressa secondo la seguente espressione:

$$\Delta H = \sum_{i=1}^{n} \frac{\Delta \sigma_i}{E_{ed,i}} \Delta z_i$$

dove:
$\Delta\sigma$ è la tensione indotta nel terreno, alla profondità z, dalla pressione di contatto della fondazione;
E_{ed} è il modulo elastico determinato attraverso la prova edometrica e relativa allo strato i-esimo;
Δz rappresenta lo spessore dello strato i-esimo in cui è stato suddiviso lo strato compressibile e per il quale si conosce il modulo elastico.

Lo spessore dello strato compressibile considerato nell'analisi dei cedimenti è stato determinato in funzione della percentuale della tensione di contatto.

Dati

Materiali

Simbologia adottata
n° Indice materiale
Descr Descrizione del materiale
Calcestruzzo armato
C Classe di resistenza del cls
A Classe di resistenza dell'acciaio
γ Peso specifico, espresso in [kg/mc]
R_{ck} Resistenza caratteristica a compressione, espressa in [kg/cmq]
E Modulo elastico, espresso in [kg/cmq]
ν Coeff. di Poisson
n Coeff. di omogenizzazione acciaio/cls
ntc Coeff. di omogenizzazione cls teso/compresso

Calcestruzzo armato

n°	Descr	C	A	γ	R_{ck}	E	ν	n	ntc
				[kg/mc]	*[kg/cmq]*	*[kg/cmq]*			
1	C20/25	C20/25	B450C	2500.00	254.92	307953	0.30	15.00	0.50

Acciai

Descr	f_{yk}	f_{uk}
	[kg/cmq]	*[kg/cmq]*
B450C	4588.65	5506.38

Geometria profilo terreno a monte del muro

Simbologia adottata
(Sistema di riferimento con origine in testa al muro, ascissa X positiva verso monte, ordinata Y positiva verso l'alto)

n° numero ordine del punto
X ascissa del punto espressa in [m]
Y ordinata del punto espressa in [m]
A inclinazione del tratto espressa in [°]

n°	X	Y	A
	[m]	*[m]*	*[°]*
1	0.00	0.00	0.000
2	10.00	0.00	0.000

Inclinazione terreno a valle del muro rispetto all'orizzontale 0.000 [°]

Geometria muro

Geometria paramento e fondazione

Lunghezza muro	10.00	[m]
Paramento		
Materiale	C20/25	
Altezza paramento	1.50	[m]
Altezza paramento libero	1.50	[m]
Spessore in sommità	0.25	[m]
Spessore all'attacco con la fondazione	0.25	[m]
Inclinazione paramento esterno	0.00	[°]
Inclinazione paramento interno	0.00	[°]
Fondazione		
Materiale	C20/25	
Lunghezza mensola di valle	0.50	[m]
Lunghezza mensola di monte	0.50	[m]
Lunghezza totale	1.25	[m]
Inclinazione piano di posa	0.00	[°]
Spessore	0.25	[m]
Spessore magrone	0.00	[m]

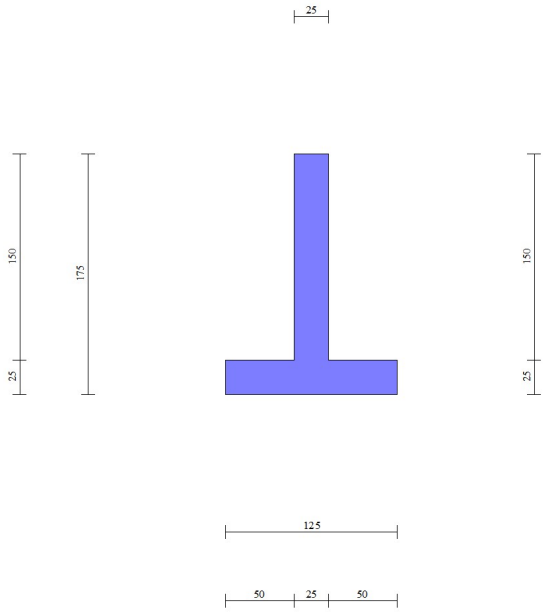

Fig. 1 - Sezione quotata del muro

Descrizione terreni

Parametri di resistenza

Simbologia adottata

n° Indice del terreno
Descr Descrizione terreno
γ Peso di volume del terreno espresso in [kg/mc]
γ_s Peso di volume saturo del terreno espresso in [kg/mc]
ϕ Angolo d'attrito interno espresso in [°]
δ Angolo d'attrito terra-muro espresso in [°]
c Coesione espressa in [kg/cmq]
c_a Adesione terra-muro espressa in [kg/cmq]
Per calcolo portanza con il metodo di Bustamante-Doix
Cesp Coeff. di espansione laterale (solo per il metodo di Bustamante-Doix)
τ_l Tensione tangenziale limite, espressa in [kg/cmq]

n°	Descr	γ	γ_{sat}	ϕ	δ	c	ca	Cesp	τ_l	
		[kg/mc]	*[kg/mc]*	*[°]*	*[°]*	*[kg/cmq]*	*[kg/cmq]*		*[kg/cmq]*	
1	Terreno	1800.00	1900.00	30.000	20.000	0.00	0.00	---	---	

Parametri di deformabilità

Simbologia adottata

n° Indice del terreno
Descr Descrizione terreno
E Modulo elastico, espresso in [kg/cmq]
ν Coeff. di Poisson
Ed Modulo edometrico, espresso in [kg/cmq]
CR Rapporto di compressione
RR Rapporto di ricompressione
OCR Grado di sovraconsolidazione

n°	Descr	E	ν	Ed	CR	RR	OCR
		[kg/cmq]		*[kg/cmq]*			
1	Terreno	2500.00	0.300	3000.00	0.000	0.000	1.000

Stratigrafia

Simbologia adottata

n° Indice dello strato
H Spessore dello strato espresso in [m]
α Inclinazione espressa in [°]
Terreno Terreno dello strato
Kwn, Kwt Costante di Winkler normale e tangenziale alla superficie espressa in $Kg/cm^2/cm$
Per calcolo pali (solo se presenti)
Kw Costante di Winkler orizzontale espressa in $Kg/cm^2/cm$
Ks Coefficiente di spinta

Cesp Coefficiente di espansione laterale (per tutti i metodi tranne il metodo di Bustamante-Doix)

Per calcolo della spinta con coeff. di spinta definiti (usati solo se attiva l'opzione 'Usa coeff. di spinta da strato')
Kst_{sta}, Kst_{sis} Coeff. di spinta statico e sismico

n°	H	α	Terreno	Kwn	Kwt	Kw	Ks	Cesp	Kst_{sta}	Kst_{sis}
	[m]	*[°]*		*[Kg/cm³]*	*[Kg/cm³]*	*[Kg/cm³]*				
1	10.00	0.000	Terreno	3.000	1.000	---	---	---	---	---

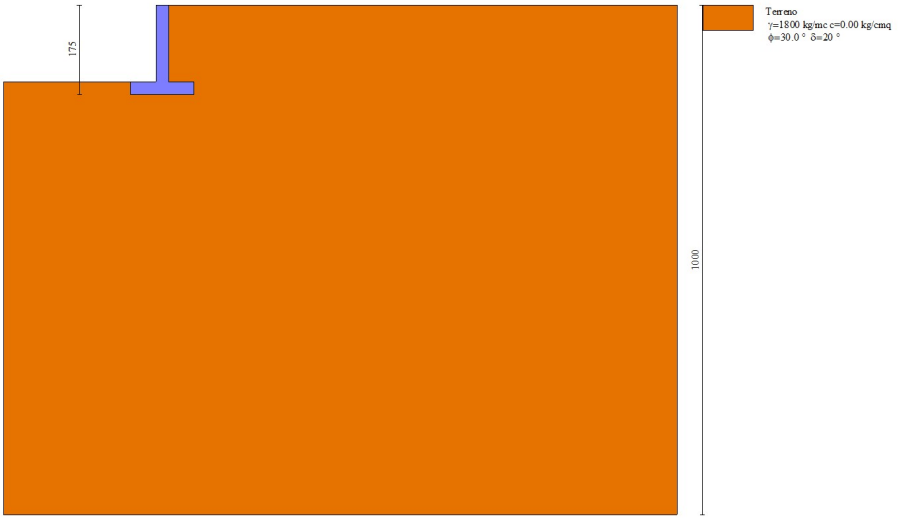

Fig. 2 - Stratigrafia

Condizioni di carico

Simbologia adottata

Carichi verticali positivi verso il basso.
Carichi orizzontali positivi verso sinistra.
Momento positivo senso antiorario.

X Ascissa del punto di applicazione del carico concentrato espressa in [m]
F_x Componente orizzontale del carico concentrato espressa in [kg]
F_y Componente verticale del carico concentrato espressa in [kg]
M Momento espresso in [kgm]
X_i Ascissa del punto iniziale del carico ripartito espressa in [m]
X_f Ascissa del punto finale del carico ripartito espressa in [m]
Q_i Intensità del carico per $x=X_i$ espressa in [kg]
Q_f Intensità del carico per $x=X_f$ espressa in [kg]

Condizione n° 1 (Condizione 1) - VARIABILE

Coeff. di combinazione Ψ_0=1.00 - Ψ_1=1.00 - Ψ_2=1.00

Carichi sul terreno

n°	Tipo	X	Fx	Fy	M	Xi	Xf	Qi	Qf
		[m]	*[kg]*	*[kg]*	*[kgm]*	*[m]*	*[m]*	*[kg]*	*[kg]*
1	Distribuito					2.50	6.50	1500.00	1500.00

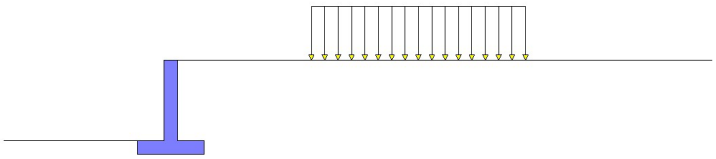

Fig. 3 - Carichi sul terreno

Normativa

Normativa usata: **Norme Tecniche sulle Costruzioni 2018 (D.M. 17.01.2018) + Circolare C.S.LL.PP. 21/01/2019 n.7**

Coeff. parziali per le azioni o per l'effetto delle azioni

Carichi	Effetto		Combinazioni statiche					Combinazioni sismiche		
			HYD	UPL	EQU	A1	A2	EQU	A1	A2
Permanenti strutturali	Favorevoli	$\gamma_{G1,fav}$	1.00	0.90	1.00	1.00	1.00	1.00	1.00	1.00
Permanenti strutturali	Sfavorevoli	$\gamma_{G1,sfav}$	1.00	1.10	1.30	1.30	1.00	1.00	1.00	1.00
Permanenti non strutturali	Favorevoli	$\gamma_{G2,fav}$	0.00	0.80	0.80	0.80	0.80	0.00	0.00	0.00
Permanenti non strutturali	Sfavorevoli	$\gamma_{G2,sfav}$	1.00	1.50	1.50	1.50	1.30	1.00	1.00	1.00
Variabili	Favorevoli	$\gamma_{Q,fav}$	0.00	0.00	0.00	0.00	0.00	0.00	0.00	0.00
Variabili	Sfavorevoli	$\gamma_{Q,sfav}$	1.00	1.50	1.50	1.50	1.30	1.00	1.00	1.00
Variabili da traffico	Favorevoli	$\gamma_{QT,fav}$	0.00	0.00	0.00	0.00	0.00	0.00	0.00	0.00
Variabili da traffico	Sfavorevoli	$\gamma_{QT,sfav}$	1.00	1.50	1.35	1.35	1.15	1.00	1.00	1.00

Coeff. parziali per i parametri geotecnici del terreno

Parametro		Combinazioni statiche		Combinazioni sismiche	
		M1	M2	M1	M2
Tangente dell'angolo di attrito	$\gamma_{\tan(\phi')}$	1.00	1.25	1.00	1.00
Coesione efficace	$\gamma_{c'}$	1.00	1.25	1.00	1.00
Resistenza non drenata	γ_{cu}	1.00	1.40	1.00	1.00
Peso nell'unita di volume	γ_{γ}	1.00	1.00	1.00	1.00

Coeff. parziali γ_R per le verifiche agli stati limite ultimi STR e GEO

Verifica	Combinazioni statiche			Combinazioni sismiche		
	R1	R2	R3	R1	R2	R3
Capacità portante	--	--	1.40	--	--	1.20
Scorrimento	--	--	1.10	--	--	1.00
Resistenza terreno a valle	--	--	1.40	--	--	1.20
Ribaltameno	--	--	1.15	--	--	1.00
Stabilità fronte di scavo	--	1.10	--	--	1.20	--

Descrizione combinazioni di carico

Con riferimento alle azioni elementari prima determinate, si sono considerate le seguenti combinazioni di carico:
- Combinazione fondamentale, impiegata per gli stati limite ultimi (SLU):

$$\gamma_{G1} G_1 + \gamma_{G2} G_2 + \gamma_{Q1} Q_{k1} + \gamma_{Q2} Q_{k2} + \gamma_{Q3} Q_{k3} + ...$$

- Combinazione caratteristica, cosiddetta rara, impiegata per gli stati limite di esercizio (SLE) irreversibili:

$$G_1 + G_2 + Q_{k1} + \Psi_{0,2} Q_{k2} + \Psi_{0,3} Q_{k3} + ...$$

- Combinazione frequente, impiegata per gli stati limite di esercizio (SLE) reversibili:

$$G_1 + G_2 + \Psi_{1,1} Q_{k1} + \Psi_{2,2} Q_{k2} + \Psi_{2,3} Q_{k3} + ...$$

- Combinazione quasi permanente, impiegata per gli effetti di lungo periodo:

$$G_1 + G_2 + \Psi_{2,1} Q_{k1} + \Psi_{2,2} Q_{k2} + \Psi_{2,3} Q_{k3} + ...$$

- Combinazione sismica, impiegata per gli stati limite ultimi connessi all'azione sismica E:

$$E + G_1 + G_2 + \Psi_{2,1} Q_{k1} + \Psi_{2,2} Q_{k2} + \Psi_{2,3} Q_{k3} + ...$$

I valori dei coeff. $\Psi_{0,j}$, $\Psi_{1,j}$, $\Psi_{2,j}$ sono definiti nelle singole condizioni variabili.par I valori dei coeff. γ_G e γ_Q, sono definiti nella tabella normativa.

In particolare si sono considerate le seguenti combinazioni:

Simbologia adottata

γ Coefficiente di partecipazione della condizione
Ψ Coefficiente di combinazione della condizione

Combinazione n° 1 - STR (A1-M1-R3)

Condizione	γ	Ψ	Effetto
Peso muro	1.00	--	Favorevole
Peso terrapieno	1.00	--	Favorevole
Spinta terreno	1.30	--	Sfavorevole
Condizione 1	1.50	1.00	Sfavorevole

Combinazione n° 2 - STR (A1-M1-R3) H + V

Condizione	γ	Ψ	Effetto
Peso muro	1.00	--	Favorevole
Peso terrapieno	1.00	--	Favorevole
Spinta terreno	1.00	--	Sfavorevole
Condizione 1	1.00	1.00	Sfavorevole

Combinazione n° 3 - STR (A1-M1-R3) H - V

Condizione	γ	Ψ	Effetto
Peso muro	1.00	--	Sfavorevole
Peso terrapieno	1.00	--	Sfavorevole
Spinta terreno	1.00	--	Sfavorevole
Condizione 1	1.00	1.00	Sfavorevole

Combinazione n° 4 - GEO (A2-M2-R2)

Condizione	γ	Ψ	Effetto
Peso muro	1.00	--	Sfavorevole
Peso terrapieno	1.00	--	Sfavorevole
Spinta terreno	1.00	--	Sfavorevole
Condizione 1	1.30	1.00	Sfavorevole

Combinazione n° 5 - GEO (A2-M2-R2) H + V

Condizione	γ	Ψ	Effetto
Peso muro	1.00	--	Sfavorevole
Peso terrapieno	1.00	--	Sfavorevole
Spinta terreno	1.00	--	Sfavorevole
Condizione 1	1.00	1.00	Sfavorevole

Combinazione n° 6 - GEO (A2-M2-R2) H - V

Condizione	γ	Ψ	Effetto
Peso muro	1.00	--	Sfavorevole
Peso terrapieno	1.00	--	Sfavorevole
Spinta terreno	1.00	--	Sfavorevole
Condizione 1	1.00	1.00	Sfavorevole

Combinazione n° 7 - EQU (A1-M1-R3)

Condizione	γ	Ψ	Effetto
Peso muro	1.00	--	Favorevole
Peso terrapieno	1.00	--	Favorevole
Spinta terreno	1.30	--	Sfavorevole
Condizione 1	1.50	1.00	Sfavorevole

Combinazione n° 8 - EQU (A1-M1-R3) H + V

Condizione	γ	Ψ	Effetto
Peso muro	1.00	--	Favorevole
Peso terrapieno	1.00	--	Favorevole
Spinta terreno	1.00	--	Sfavorevole

Condizione	γ	Ψ	Effetto
Condizione 1	1.00	1.00	Sfavorevole

Combinazione n° 9 - EQU (A1-M1-R3) H - V

Condizione	γ	Ψ	Effetto
Peso muro	1.00	--	Favorevole
Peso terrapieno	1.00	--	Favorevole
Spinta terreno	1.00	--	Sfavorevole
Condizione 1	1.00	1.00	Sfavorevole

Combinazione n° 10 - SLER

Condizione	γ	Ψ	Effetto
Peso muro	1.00	--	Sfavorevole
Peso terrapieno	1.00	--	Sfavorevole
Spinta terreno	1.00	--	Sfavorevole
Condizione 1	1.00	1.00	Sfavorevole

Combinazione n° 11 - SLEF

Condizione	γ	Ψ	Effetto
Peso muro	1.00	--	Sfavorevole
Peso terrapieno	1.00	--	Sfavorevole
Spinta terreno	1.00	--	Sfavorevole
Condizione 1	1.00	1.00	Sfavorevole

Combinazione n° 12 - SLEQ

Condizione	γ	Ψ	Effetto
Peso muro	1.00	--	Sfavorevole
Peso terrapieno	1.00	--	Sfavorevole
Spinta terreno	1.00	--	Sfavorevole
Condizione 1	1.00	1.00	Sfavorevole

Combinazione n° 13 - SLEQ H + V

Condizione	γ	Ψ	Effetto
Peso muro	1.00	--	Sfavorevole
Peso terrapieno	1.00	--	Sfavorevole
Spinta terreno	1.00	--	Sfavorevole
Condizione 1	1.00	1.00	Sfavorevole

Combinazione n° 14 - SLEQ H - V

Condizione	γ	Ψ	Effetto
Peso muro	1.00	--	Sfavorevole
Peso terrapieno	1.00	--	Sfavorevole
Spinta terreno	1.00	--	Sfavorevole
Condizione 1	1.00	1.00	Sfavorevole

Dati sismici

Comune	Scanzano Jonico
Provincia	Matera
Regione	Basilicata
Latitudine	40.250975
Longitudine	16.699144
Indice punti di interpolazione	35680 - 35458 - 35457 - 35679
Vita nominale	50 anni
Classe d'uso	II
Tipo costruzione	Normali affollamenti
Vita di riferimento	50 anni

	Simbolo	U.M.		SLU	SLE
Accelerazione al suolo	a_g	[m/s²]		0.804	0.398
Accelerazione al suolo	a_g/g	[%]		0.082	0.041
Massimo fattore amplificazione spettro orizzontale	F0			2.736	2.457
Periodo inizio tratto spettro a velocità costante	Tc*			0.457	0.316
Tipo di sottosuolo - Coefficiente stratigrafico	Ss		B	1.200	1.200
Categoria topografica - Coefficiente amplificazione topografica	St		T1	1.000	

Stato limite ...	Coeff. di riduzione β_m	kh	kv
Ultimo	0.380	3.736	1.868
Ultimo - Ribaltamento	0.570	5.604	2.802
Esercizio	0.470	2.287	1.144

Forma diagramma incremento sismico **Stessa forma del diagramma statico**

SCATOLARE APERTO

Relazione di calcolo, geotecnica e suo materiali

La presente relazione è redatta allo scopo di illustrare il modello numerico, il metodo di analisi, ed i criteri di verifica adottati per la progettazione di uno scatolare aperto in c.a., da realizzare a valle della S.P. Scanzano/mare ubicata nel Comune di Scanzano (MT). Le verifiche geotecniche e strutturali dell'opera di cui in oggetto sono state condotte nel rispetto delle attuali Norme Tecniche per le costruzioni di cui al D.M. 17 Gennaio 2018 (NTC2018).

La natura del dissesto, la sua origine ed estensione è ampiamente descritta nella relazione geologica in allegato a cui si rimanda per maggiori approfondimenti.

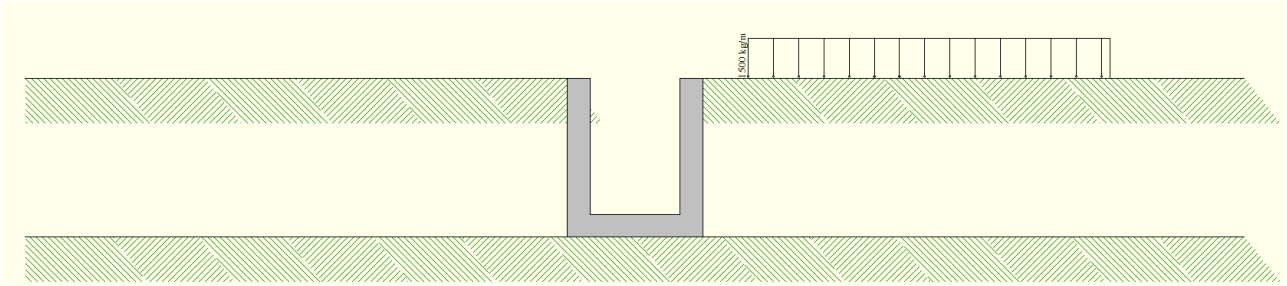

Normative di riferimento

- Legge nr. 1086 del 05/11/1971.
Norme per la disciplina delle opere in conglomerato cementizio, normale e precompresso ed a struttura metallica.
- Legge nr. 64 del 02/02/1974.
Provvedimenti per le costruzioni con particolari prescrizioni per le zone sismiche.
Norme Tecniche per le Costruzioni 2018 (D.M. 17 Gennaio 2018)
Circolare n.7 del 21/01/2019 - Istruzioni per l'applicazione dell'<<Aggiornamento delle Norme Tecniche per le Costruzioni>> di cui al decreto ministeriale 17 gennaio 2018.

Spinta sui piedritti

Spinta attiva - Metodo di Coulomb

La teoria di Coulomb considera l'ipotesi di un cuneo di spinta a monte della parete che si muove rigidamente lungo una superficie di rottura rettilinea. Dall'equilibrio del cuneo si ricava la spinta che il terreno esercita sull'opera di sostegno. In particolare Coulomb ammette, al contrario della teoria di Rankine, l'esistenza di attrito fra il terreno e la parete, e quindi la retta di spinta risulta inclinata rispetto alla normale alla parete stesso di un angolo di attrito terra-parete.
L'espressione della spinta esercitata da un terrapieno, di peso di volume γ, su una parete di altezza *H*, risulta espressa secondo la teoria di Coulomb dalla seguente relazione (per terreno incoerente)

$$S = 1/2\gamma H^2 K_a$$

K_a rappresenta il coefficiente di spinta attiva di Coulomb nella versione riveduta da Muller-Breslau, espresso come

$$K_a = \frac{\sin(\alpha + \phi)}{\sin^2\alpha \, \sin(\alpha-\delta) \left[1 + \frac{\sqrt{[\sin(\phi+\delta)\sin(\phi-\beta)]}}{\sqrt{[\sin(\alpha-\delta)\sin(\alpha+\beta)]}} \right]^2}$$

dove ϕ è l'angolo d'attrito del terreno, α rappresenta l'angolo che la parete forma con l'orizzontale (α = 90° per parete verticale), δ è l'angolo d'attrito terreno-parete, β è l'inclinazione del terrapieno rispetto all'orizzontale.
La spinta risulta inclinata dell'angolo d'attrito terreno-parete δ rispetto alla normale alla parete.
Il diagramma delle pressioni del terreno sulla parete risulta triangolare con il vertice in alto. Il punto di applicazione della spinta si trova in corrispondenza del baricentro del diagramma delle pressioni (*1/3 H* rispetto alla base della parete). L'espressione di K_a perde di significato per $\beta>\phi$. Questo coincide con quanto si intuisce fisicamente: la pendenza del terreno a monte della parete non può superare l'angolo di natural declivio del terreno stesso.

Nel caso di terreno dotato di attrito e coesione *c* l'espressione della pressione del terreno ad una generica profondità *z* vale

$$\sigma_a = \gamma z K_a - 2 c \sqrt{K_a}$$

Spinta in presenza di falda

Nel caso in cui a monte della parete sia presente la falda il diagramma delle pressioni sulla parete risulta modificato a causa della sottospinta che l'acqua esercita sul terreno. Il peso di volume del terreno al di sopra della linea di falda non subisce variazioni. Viceversa al di sotto del livello di falda va considerato il peso di volume di galleggiamento

$$\gamma_a = \gamma_{sat} - \gamma_w$$

dove γ_{sat} è il peso di volume saturo del terreno (dipendente dall'indice dei pori) e γ_w è il peso di volume dell'acqua. Quindi il diagramma delle pressioni al di sotto della linea di falda ha una pendenza minore. Al diagramma così ottenuto va sommato il diagramma triangolare legato alla pressione idrostatica esercitata dall'acqua.

Spinta a Riposo

Si assume che sui piedritti agisca la spinta calcolata in condizioni di riposo.
Il coefficiente di spinta a riposo è espresso dalla relazione

$$K_0 = 1 - \sin\phi$$

dove ϕ rappresenta l'angolo d'attrito interno del terreno di rinfianco.

Quindi la pressione laterale, ad una generica profondità *z* e la spinta totale sulla parete di altezza *H* valgono

$$\sigma = \gamma\, z\, K_0 + p_v K_0$$

$$S = 1/2\, \gamma\, H^2\, K_0 + p_v K_0\, H$$

dove p_v è la pressione verticale agente in corrispondenza della calotta.

Spinta in presenza di sisma - Metodo di Mononobe-Okabe

Per tener conto dell'incremento di spinta dovuta al sisma si fa riferimento al metodo di Mononobe-Okabe (cui fa riferimento la Normativa Italiana).
La Normativa Italiana suggerisce di tener conto di un incremento di spinta dovuto al sisma nel modo seguente.
Detta ε l'inclinazione del terrapieno rispetto all'orizzontale e β l'inclinazione della parete rispetto alla verticale, si calcola la spinta *S'* considerando un'inclinazione del terrapieno e della parete pari a

$$\varepsilon' = \varepsilon + \theta$$

$$\beta' = \beta + \theta$$

dove $\theta = \mathrm{arctg}(k_h/(1 \pm k_v))$ essendo k_h il coefficiente sismico orizzontale e k_v il coefficiente sismico verticale, definito in funzione di k_h.
Detta *S* la spinta calcolata in condizioni statiche l'incremento di spinta da applicare è espresso da

$$\Delta S = AS' - S$$

dove il coefficiente *A* vale

$$A = \frac{\cos^2(\beta + \theta)}{\cos^2\beta\cos\theta}$$

Tale incremento di spinta deve essere applicato ad una distanza dalla base pari a 1/2 dell'altezza della parete.
Oltre a questo incremento bisogna tener conto delle forze d'inerzia orizzontali che si destano per effetto del sisma. Tale forza viene valutata come

$$F_i = CW$$

dove *W* è il peso della parete e dei relativi sovraccarichi permanenti e va applicata nel baricentro dei pesi.

Strategia di soluzione

A partire dal tipo di terreno, dalla geometria e dai sovraccarichi agenti il programma è in grado di conoscere tutti i carichi agenti sulla struttura per ogni combinazione di carico.
La struttura scatolare viene schematizzata come un telaio piano e viene risolta mediante il metodo degli elementi finiti (FEM). Più dettagliatamente il telaio viene discretizzato in una serie di elementi connessi fra di loro nei nodi.
Il terreno di rinfianco e di fondazione viene invece schematizzato con una serie di elementi molle non reagenti a trazione (modello di Winkler). L'area della singola molla è direttamente proporzionale alla costante di Winkler del terreno e all'area di influenza della molla stessa.
A partire dalla matrice di rigidezza del singolo elemento, $\mathbf{K_e}$, si assembla la matrice di rigidezza di tutta la struttura **K**. Tutti i carichi agenti sulla struttura vengono trasformati in carichi nodali(reazioni di incastro perfetto) ed inseriti nel vettore dei carichi nodali **p**.
Indicando con **u** il vettore degli spostamenti nodali (incogniti), la relazione risolutiva può essere scritta nella forma

$$\mathbf{K\,u = p}$$

Da questa equazione matriciale si ricavano gli spostamenti incogniti **u**

$$\mathbf{u = K^{-1}\,p}$$

Noti gli spostamenti nodali è possibile risalire alle sollecitazioni nei vari elementi.

La soluzione del sistema viene fatta per ogni combinazione di carico agente sullo scatolare. Il successivo calcolo delle armature nei vari elementi viene condotto tenendo conto delle condizioni più gravose che si possono verificare nelle sezioni fra tutte le combinazioni di carico.

Geometria scatolare

Descrizione:	Scatolare tipo vasca	
Altezza esterna	1.75	[m]
Larghezza esterna	1.50	[m]
Lunghezza mensola di fondazione sinistra	0.00	[m]
Lunghezza mensola di fondazione destra	0.00	[m]
Spessore piedritto sinistro	0.25	[m]
Spessore piedritto destro	0.25	[m]
Spessore fondazione	0.25	[m]

Caratteristiche strati terreno

Strato di rinfianco

Descrizione	Terreno di rinfianco	
Peso di volume	1800.00	[kg/mc]
Peso di volume saturo	1900.00	[kg/mc]
Angolo di attrito	30.00	[°]
Angolo di attrito terreno struttura	20.00	[°]
Coesione	0.00	[kg/cmq]
Costante di Winkler	5.00	[kg/cmq/cm]

Strato di base

Descrizione	Terreno di base	
Peso di volume	1800.00	[kg/mc]
Peso di volume saturo	1900.00	[kg/mc]
Angolo di attrito	30.00	[°]
Angolo di attrito terreno struttura	20.00	[°]
Coesione	0.00	[kg/cmq]
Costante di Winkler	5.00	[kg/cmq/cm]
Tensione limite	2.00	[kg/cmq]

Caratteristiche materiali utilizzati

Materiale calcestruzzo

R_{ck} calcestruzzo	305.91	[kg/cmq]
Peso specifico calcestruzzo	2500.00	[kg/mc]
Modulo elastico E	315870.94	[kg/cmq]
Tensione di snervamento acciaio	4588.65	[kg/cmq]
Coeff. omogeneizzazione cls teso/compresso (n')	0.50	
Coeff. omogeneizzazione acciaio/cls (n)	15.00	
Coefficiente dilatazione termica	0.0000120	

Condizioni di carico

Convenzioni adottate
Origine in corrispondenza dello spigolo inferiore sinistro della struttura
Carichi verticali positivi se diretti verso il basso
Carichi orizzontali positivi se diretti verso destra
Coppie concentrate positive se antiorarie
Ascisse X (espresse in m) positive verso destra
Ordinate Y (espresse in m) positive verso l'alto
Carichi concentrati espressi in kg
Coppie concentrate espressi in kgm
Carichi distribuiti espressi in kg/m

Simbologia adottata e unità di misura
Forze concentrate
X ascissa del punto di applicazione dei carichi verticali concentrati
Y ordinata del punto di applicazione dei carichi orizzontali concentrati
F_y componente Y del carico concentrato
F_x componente X del carico concentrato
M momento
Forze distribuite
X_i, X_f ascisse del punto iniziale e finale per carichi distribuiti verticali
Y_i, Y_f ordinate del punto iniziale e finale per carichi distribuiti orizzontali
V_{ni} componente normale del carico distribuito nel punto iniziale
V_{nf} componente normale del carico distribuito nel punto finale
V_{ti} componente tangenziale del carico distribuito nel punto iniziale
V_{tf} componente tangenziale del carico distribuito nel punto finale
D_{te} variazione termica lembo esterno espressa in gradi centigradi
D_{ti} variazione termica lembo interno espressa in gradi centigradi

Condizione di carico n°1 (Peso Proprio)

Condizione di carico n°2 (Spinta terreno sinistra)

Condizione di carico n°3 (Spinta terreno destra)

Condizione di carico n°4 (Sisma da sinistra)

Condizione di carico n°5 (Sisma da destra)

Condizione di carico n° 7 (Condizione 1)
Distr Terreno X_i= 2.00 X_f= 6.00 V_{ni}= 1500 V_{nf}= 1500

Impostazioni di progetto

Verifica materiali:
Stato Limite Ultimo

Coefficiente di sicurezza calcestruzzo γ_c 1.50

Fattore riduzione da resistenza cubica a cilindrica	0.83
Fattore di riduzione per carichi di lungo periodo	0.85
Coefficiente di sicurezza acciaio	1.15
Coefficiente di sicurezza per la sezione	1.00

Verifica Taglio - Metodo dell'inclinazione variabile del traliccio

$V_{Rd}=[0.18*k*(100.0*\rho_l*fck)^{1/3}/\gamma_c+0.15*\sigma_{cp}]*bw*d>(vmin+0.15*\sigma_{cp})*b_w*d$
$V_{Rsd}=0.9*d*A_{sw}/s*fyd*(ctg\alpha+ctg\theta)*sin\alpha$
$V_{Rcd}=0.9*d*b_w*\alpha_c*fcd'*(ctg(\theta)+ctg(\alpha)/(1.0+ctg\theta^2)$
con:

d	altezza utile sezione [mm]
b_w	larghezza minima sezione [mm]
σ_{cp}	tensione media di compressione [N/mmq]
ρ_l	rapporto geometrico di armatura
A_{sw}	area armatuta trasversale [mmq]
s	interasse tra due armature trasversali consecutive [mm]
α_c	coefficiente maggiorativo, funzione di fcd e σ_{cp}

$fcd'=0.5*fcd$
$k=1+(200/d)^{1/2}$
$vmin=0.035*k^{3/2}*fck^{1/2}$

Stato Limite di Esercizio

Criteri di scelta per verifiche tensioni di esercizio:

Ambiente poco aggressivo	
Limite tensioni di compressione nel calcestruzzo (comb. rare)	0.60 f_{ck}
Limite tensioni di compressione nel calcestruzzo (comb. quasi perm.)	0.45 f_{ck}
Limite tensioni di trazione nell'acciaio (comb. rare)	0.80 f_{yk}

Criteri verifiche a fessurazione:
Armatura poco sensibile
Apertura limite fessure espresse in [mm]
Apertura limite fessure w1=0.20 w2=0.30 w3=0.40
Metodo di calcolo aperture delle fessure:
- NTC 2018 - C4.1.2.2.4.5
Resistenza a trazione per **Flessione**

Verifiche secondo :
Norme Tecniche 2018 - Approccio 2

Copriferro sezioni 3.00 [cm]

Descrizione combinazioni di carico

Simbologia adottata

γ Coefficiente di partecipazione della condizione
Ψ Coefficiente di combinazione della condizione
C Coefficiente totale di partecipazione della condizione

Norme Tecniche 2018

Simbologia adottata

γ_{G1sfav} Coefficiente parziale sfavorevole sulle azioni permanenti
γ_{G1fav} Coefficiente parziale favorevole sulle azioni permanenti
γ_{G2sfav} Coefficiente parziale sfavorevole sulle azioni permanenti non strutturali
γ_{G2fav} Coefficiente parziale favorevole sulle azioni permanenti non strutturali
γ_{Q} Coefficiente parziale sulle azioni variabili
$\gamma_{tan\phi'}$ Coefficiente parziale di riduzione dell'angolo di attrito drenato
$\gamma_{c'}$ Coefficiente parziale di riduzione della coesione drenata
γ_{cu} Coefficiente parziale di riduzione della coesione non drenata
γ_{qu} Coefficiente parziale di riduzione del carico ultimo

Coefficienti di partecipazione combinazioni statiche

Coefficienti parziali per le azioni o per l'effetto delle azioni:

Carichi	*Effetto*		*A1*	*A2*
Permanenti	Favorevole	γ_{G1fav}	1.00	1.00
Permanenti	Sfavorevole	γ_{G1sfav}	1.30	1.00
Permanenti non strutturali	Favorevole	γ_{G2fav}	0.80	0.80
Permanenti non strutturali	Sfavorevole	γ_{G2sfav}	1.50	1.30
Variabili	Favorevole	γ_{Qifav}	0.00	0.00
Variabili	Sfavorevole	γ_{Qisfav}	1.50	1.30
Variabili da traffico	Favorevole	γ_{Qfav}	0.00	0.00
Variabili da traffico	Sfavorevole	γ_{Qsfav}	1.35	1.15
Termici	Favorevole	$\gamma_{\varepsilon fav}$	0.00	0.00
Termici	Sfavorevole	$\gamma_{\varepsilon sfav}$	1.20	1.20

Coefficienti parziali per i parametri geotecnici del terreno:

Parametri		*M1*	*M2*
Tangente dell'angolo di attrito	$\gamma_{tan\phi'}$	1.00	1.25
Coesione efficace	$\gamma_{c'}$	1.00	1.25
Resistenza non drenata	γ_{cu}	1.00	1.40
Resistenza a compressione uniassiale	γ_{qu}	1.00	1.60
Peso dell'unità di volume	γ_{γ}	1.00	1.00

Coefficienti di partecipazione combinazioni sismiche

Coefficienti parziali per le azioni o per l'effetto delle azioni:

Carichi	*Effetto*	*A1*	*A2*

Permanenti	Favorevole	γ_{G1fav}	1.00	1.00
Permanenti	Sfavorevole	γ_{G1sfav}	1.00	1.00
Permanenti	Favorevole	γ_{G2fav}	0.00	0.00
Permanenti	Sfavorevole	γ_{G2sfav}	1.00	1.00
Variabili	Favorevole	γ_{Qifav}	0.00	0.00
Variabili	Sfavorevole	γ_{Qisfav}	1.00	1.00
Variabili da traffico	Favorevole	γ_{Qfav}	0.00	0.00
Variabili da traffico	Sfavorevole	γ_{Qsfav}	1.00	1.00
Termici	Favorevole	$\gamma_{\varepsilon fav}$	0.00	0.00
Termici	Sfavorevole	$\gamma_{\varepsilon sfav}$	1.00	1.00

Coefficienti parziali per i parametri geotecnici del terreno:

Parametri		*M1*	*M2*
Tangente dell'angolo di attrito	$\gamma_{\tan\phi'}$	1.00	1.00
Coesione efficace	$\gamma_{c'}$	1.00	1.00
Resistenza non drenata	γ_{cu}	1.00	1.00
Resistenza a compressione uniassiale	γ_{qu}	1.00	1.00
Peso dell'unità di volume	γ_{γ}	1.00	1.00

Combinazione n° 1 SLU (Approccio 2)

	Effetto	**γ**	**Ψ**	**C**
Peso Proprio	Sfavorevole	1.30	1.00	1.30
Spinta terreno sinistra	Sfavorevole	1.30	1.00	1.30
Spinta terreno destra	Sfavorevole	1.30	1.00	1.30
Condizione 1	Sfavorevole	1.35	1.00	1.35

Combinazione n° 2 SLU (Approccio 2) - Sisma Vert. positivo

	Effetto	**γ**	**Ψ**	**C**
Peso Proprio	Sfavorevole	1.00	1.00	1.00
Spinta terreno sinistra	Sfavorevole	1.00	1.00	1.00
Spinta terreno destra	Sfavorevole	1.00	1.00	1.00
Sisma da sinistra	Sfavorevole	1.00	1.00	1.00
Condizione 1	Sfavorevole	1.00	1.00	1.00

Combinazione n° 3 SLU (Approccio 2) - Sisma Vert. negativo

	Effetto	**γ**	**Ψ**	**C**
Peso Proprio	Sfavorevole	1.00	1.00	1.00
Spinta terreno sinistra	Sfavorevole	1.00	1.00	1.00
Spinta terreno destra	Sfavorevole	1.00	1.00	1.00
Sisma da sinistra	Sfavorevole	1.00	1.00	1.00
Condizione 1	Sfavorevole	1.00	1.00	1.00

Combinazione n° 4 SLU (Approccio 2) - Sisma Vert. positivo

	Effetto	γ	Ψ	C
Peso Proprio	Sfavorevole	1.00	1.00	1.00
Spinta terreno sinistra	Sfavorevole	1.00	1.00	1.00
Spinta terreno destra	Sfavorevole	1.00	1.00	1.00
Sisma da destra	Sfavorevole	1.00	1.00	1.00
Condizione 1	Sfavorevole	1.00	1.00	1.00

Combinazione n° 5 SLU (Approccio 2) - Sisma Vert. negativo

	Effetto	γ	Ψ	C
Peso Proprio	Sfavorevole	1.00	1.00	1.00
Spinta terreno sinistra	Sfavorevole	1.00	1.00	1.00
Spinta terreno destra	Sfavorevole	1.00	1.00	1.00
Sisma da destra	Sfavorevole	1.00	1.00	1.00
Condizione 1	Sfavorevole	1.00	1.00	1.00

Combinazione n° 6 SLE (Rara)

	Effetto	γ	Ψ	C
Peso Proprio	Sfavorevole	1.00	1.00	1.00
Spinta terreno sinistra	Sfavorevole	1.00	1.00	1.00
Spinta terreno destra	Sfavorevole	1.00	1.00	1.00
Condizione 1	Sfavorevole	1.00	0.40	0.40

Combinazione n° 7 SLE (Frequente)

	Effetto	γ	Ψ	C
Peso Proprio	Sfavorevole	1.00	1.00	1.00
Spinta terreno sinistra	Sfavorevole	1.00	1.00	1.00
Spinta terreno destra	Sfavorevole	1.00	1.00	1.00

Combinazione n° 8 SLE (Quasi Permanente)

	Effetto	γ	Ψ	C
Peso Proprio	Sfavorevole	1.00	1.00	1.00
Spinta terreno sinistra	Sfavorevole	1.00	1.00	1.00
Spinta terreno destra	Sfavorevole	1.00	1.00	1.00

Analisi della spinta e verifiche

Simbologia adottata ed unità di misura
Origine in corrispondenza dello spigolo inferiore sinistro della struttura
Le forze orizzontali sono considerate positive se agenti verso destra
Le forze verticali sono considerate positive se agenti verso il basso

X	ascisse (espresse in m) positive verso destra
Y	ordinate (espresse in m) positive verso l'alto
M	momento espresso in kgm
V	taglio espresso in kg
SN	sforzo normale espresso in kg
ux	spostamento direzione X espresso in cm
uy	spostamento direzione Y espresso in cm
σ_t	pressione sul terreno espressa in kg/cmq

Tipo di analisi

Pressione in calotta — Pressione geostatica
I carichi applicati sul terreno sono stati diffusi secondo **angolo di attrito**

Spinta sui piedritti	Attiva	[combinazione 1]
	Attiva	[combinazione 2]
	Attiva	[combinazione 3]
	Attiva	[combinazione 4]
	Attiva	[combinazione 5]
	Attiva	[combinazione 6]
	Attiva	[combinazione 7]
	Attiva	[combinazione 8]

Sisma

Identificazione del sito

Latitudine	40.250975
Longitudine	16.699144
Comune	Scanzano Jonico
Provincia	Matera
Regione	Basilicata
Punti di interpolazione del reticolo	35680 - 35458 - 35457 - 35679

Tipo di opera

Tipo di costruzione	Opera ordinaria
Vita nominale	50 anni
Classe d'uso	II - Normali affollamenti e industrie non pericolose
Vita di riferimento	50 anni

Combinazioni SLU

Accelerazione al suolo a_g =	0.71 [m/s^2]
Coefficiente di amplificazione per tipo di sottosuolo (S)	1.20
Coefficiente di amplificazione topografica (St)	1.00

Coefficiente riduzione (β_m)	1.00
Rapporto intensità sismica verticale/orizzontale	0.50
Coefficiente di intensità sismica orizzontale (percento)	$k_h=(a_g/g*\beta_m*St*Ss) = 8.71$
Coefficiente di intensità sismica verticale (percento)	$k_v=0.50 * k_h = 4.35$

Combinazioni SLE

Accelerazione al suolo a_g =	0.33 [m/s^2]
Coefficiente di amplificazione per tipo di sottosuolo (S)	1.20
Coefficiente di amplificazione topografica (St)	1.00
Coefficiente riduzione (β_m)	1.00
Rapporto intensità sismica verticale/orizzontale	0.50
Coefficiente di intensità sismica orizzontale (percento)	$k_h=(a_g/g*\beta_m*St*Ss) = 4.07$
Coefficiente di intensità sismica verticale (percento)	$k_v=0.50 * k_h = 2.03$
Forma diagramma incremento sismico	Rettangolare

Spinta sismica	Mononobe-Okabe

Angolo diffusione sovraccarico	30.00 [°]

Coefficienti di spinta

N°combinazione	Statico	Sismico
1	0.297	0.000
2	0.297	0.370
3	0.297	0.345
4	0.297	0.370
5	0.297	0.345
6	0.297	0.000
7	0.297	0.000
8	0.297	0.000

Discretizzazione strutturale

Numero elementi fondazione	18
Numero elementi piedritto sinistro	22
Numero elementi piedritto destro	22
Numero molle piedritto sinistro	23
Numero molle piedritto destro	23

SCATOLARE CHIUSO

Relazione di calcolo, geotecnica e suo materiali

La presente relazione è redatta allo scopo di illustrare il modello numerico, il metodo di analisi, ed i criteri di verifica adottati per la progettazione di uno scatolare chiuso in c.a., da realizzare a valle della S.P. Scanzano/Mare ubicata nel Comune di Scanzano (MT). Le verifiche geotecniche e strutturali dell'opera di cui in oggetto sono state condotte nel rispetto delle attuali Norme Tecniche per le costruzioni di cui al D.M. 17 Gennaio 2018 (NTC2018).

La natura del dissesto, la sua origine ed estensione è ampiamente descritta nella relazione geologica in allegato a cui si rimanda per maggiori approfondimenti.

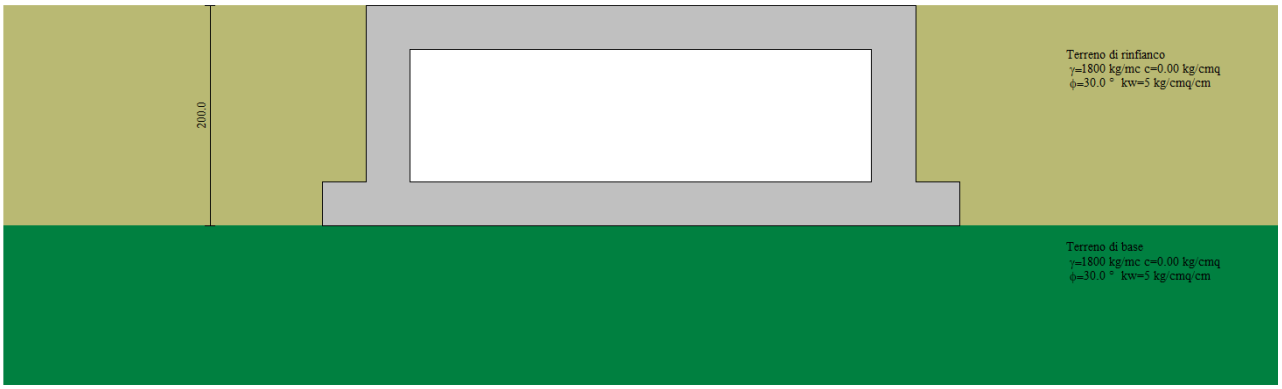

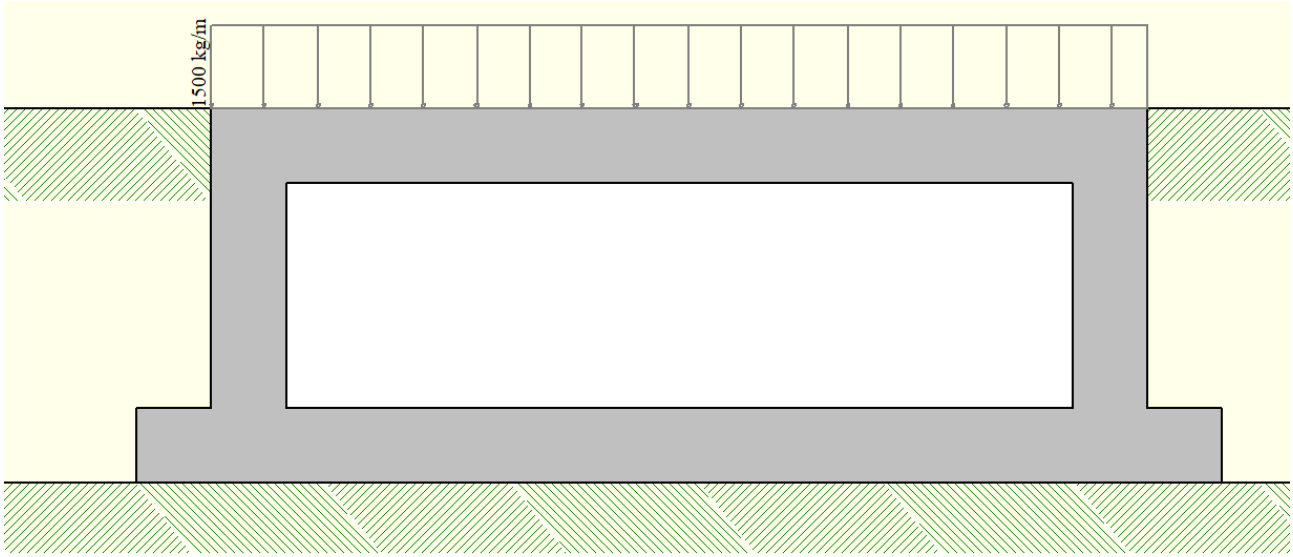

Normative di riferimento

- Legge nr. 1086 del 05/11/1971.
Norme per la disciplina delle opere in conglomerato cementizio, normale e precompresso ed a struttura metallica.
- Legge nr. 64 del 02/02/1974.
Provvedimenti per le costruzioni con particolari prescrizioni per le zone sismiche.
- D.M. LL.PP. del 11/03/1988.
Norme tecniche riguardanti le indagini sui terreni e sulle rocce, la stabilità dei pendii naturali e delle scarpate, i criteri generali e le prescrizioni per la progettazione, l'esecuzione e il collaudo delle opere di sostegno delle terre e delle opere di fondazione.
- D.M. LL.PP. del 14/02/1992.
Norme tecniche per l'esecuzione delle opere in cemento armato normale e precompresso e per le strutture metalliche.
- D.M. 9 Gennaio 1996
Norme Tecniche per il calcolo, l' esecuzione ed il collaudo delle strutture in cemento armato normale e precompresso e per le strutture metalliche
- D.M. 16 Gennaio 1996
Norme Tecniche relative ai 'Criteri generali per la verifica di sicurezza delle costruzioni e dei carichi e sovraccarichi'
- D.M. 16 Gennaio 1996
Norme Tecniche per le costruzioni in zone sismiche
- Circolare Ministero LL.PP. 15 Ottobre 1996 N. 252 AA.GG./S.T.C.
Istruzioni per l'applicazione delle Norme Tecniche di cui al D.M. 9 Gennaio 1996
- Circolare Ministero LL.PP. 10 Aprile 1997 N. 65/AA.GG.
Istruzioni per l'applicazione delle Norme Tecniche per le costruzioni in zone sismiche di cui al D.M. 16 Gennaio 1996

Norme Tecniche per le Costruzioni 2018 (D.M. 17 Gennaio 2018)
Circolare n.7 del 21/01/2019 - Istruzioni per l'applicazione dell'<<Aggiornamento delle Norme Tecniche per le Costruzioni>> di cui al decreto ministeriale 17 gennaio 2018.

Calcolo del carico sulla calotta

Pressione Geostatica

In questo caso la pressione in calotta viene calcolata come prodotto tra il peso di volume del terreno per l'altezza del ricoprimento (Spessore dello strato di terreno superiore). Quindi la pressione in calotta è fornita dalla seguente relazione:

$$P_v = \gamma H$$

Se sul profilo del piano campagna sono presenti dei sovraccarichi, concentrati e/o distribuiti, la diffusione di questi nel terreno avviene secondo un angolo, rispetto alla verticale, pari a 30.00°.

Spinta sui piedritti

Spinta attiva - Metodo di Coulomb

La teoria di Coulomb considera l'ipotesi di un cuneo di spinta a monte della parete che si muove rigidamente lungo una superficie di rottura rettilinea. Dall'equilibrio del cuneo si ricava la spinta che il terreno esercita sull'opera di sostegno. In particolare Coulomb ammette, al contrario della teoria di Rankine, l'esistenza di attrito fra il terreno e la parete, e quindi la retta di spinta risulta inclinata rispetto alla normale alla parete stesso di un angolo di attrito terra-parete.
L'espressione della spinta esercitata da un terrapieno, di peso di volume γ, su una parete di altezza *H*, risulta espressa secondo la teoria di Coulomb dalla seguente relazione (per terreno incoerente)

$$S = 1/2\gamma H^2 K_a$$

K_a rappresenta il coefficiente di spinta attiva di Coulomb nella versione riveduta da Muller-Breslau, espresso come

$$K_a = \frac{\sin(\alpha + \phi)}{\sin^2\alpha \, \sin(\alpha-\delta) \left[1 + \frac{\sqrt{[\sin(\phi+\delta)\sin(\phi-\beta)]}}{\sqrt{[\sin(\alpha-\delta)\sin(\alpha+\beta)]}} \right]^2}$$

dove ϕ è l'angolo d'attrito del terreno, α rappresenta l'angolo che la parete forma con l'orizzontale (α = 90° per parete verticale), δ è l'angolo d'attrito terreno-parete, β è l'inclinazione del terrapieno rispetto all'orizzontale.
La spinta risulta inclinata dell'angolo d'attrito terreno-parete δ rispetto alla normale alla parete.
Il diagramma delle pressioni del terreno sulla parete risulta triangolare con il vertice in alto. Il punto di applicazione della spinta si trova in corrispondenza del baricentro del diagramma delle pressioni (*1/3 H* rispetto alla base della parete). L'espressione di K_a perde di significato per $\beta>\phi$. Questo

coincide con quanto si intuisce fisicamente: la pendenza del terreno a monte della parete non può superare l'angolo di natural declivio del terreno stesso.

Nel caso di terreno dotato di attrito e coesione *c* l'espressione della pressione del terreno ad una generica profondità *z* vale

$$\sigma_a = \gamma z K_a - 2 c \sqrt{K_a}$$

Spinta in presenza di falda

Nel caso in cui a monte della parete sia presente la falda il diagramma delle pressioni sulla parete risulta modificato a causa della sottospinta che l'acqua esercita sul terreno. Il peso di volume del terreno al di sopra della linea di falda non subisce variazioni. Viceversa al di sotto del livello di falda va considerato il peso di volume di galleggiamento

$$\gamma_a = \gamma_{sat} - \gamma_w$$

dove γ_{sat} è il peso di volume saturo del terreno (dipendente dall'indice dei pori) e γ_w è il peso di volume dell'acqua. Quindi il diagramma delle pressioni al di sotto della linea di falda ha una pendenza minore. Al diagramma così ottenuto va sommato il diagramma triangolare legato alla pressione idrostatica esercitata dall'acqua.

Spinta a Riposo

Si assume che sui piedritti agisca la spinta calcolata in condizioni di riposo.
Il coefficiente di spinta a riposo è espresso dalla relazione

$$K_0 = 1 - \sin\phi$$

dove ϕ rappresenta l'angolo d'attrito interno del terreno di rinfianco.

Quindi la pressione laterale, ad una generica profondità *z* e la spinta totale sulla parete di altezza *H* valgono

$$\sigma = \gamma z K_0 + p_v K_0$$

$$S = 1/2 \gamma H^2 K_0 + p_v K_0 H$$

dove p_v è la pressione verticale agente in corrispondenza della calotta.

Spinta in presenza di sisma - Metodo di Mononobe-Okabe

Per tener conto dell'incremento di spinta dovuta al sisma si fa riferimento al metodo di Mononobe-Okabe (cui fa riferimento la Normativa Italiana).
La Normativa Italiana suggerisce di tener conto di un incremento di spinta dovuto al sisma nel modo seguente.
Detta ε l'inclinazione del terrapieno rispetto all'orizzontale e β l'inclinazione della parete rispetto alla verticale, si calcola la spinta S' considerando un'inclinazione del terrapieno e della parete pari a

$$\varepsilon' = \varepsilon + \theta$$

$$\beta' = \beta + \theta$$

dove $\theta = \mathrm{arctg}(k_h/(1 \pm k_v))$ essendo k_h il coefficiente sismico orizzontale e k_v il coefficiente sismico verticale, definito in funzione di k_h.
Detta S la spinta calcolata in condizioni statiche l'incremento di spinta da applicare è espresso da

$$\Delta S = AS' - S$$

dove il coefficiente A vale

$$A = \frac{\cos^2(\beta + \theta)}{\cos^2\beta\cos\theta}$$

Tale incremento di spinta deve essere applicato ad una distanza dalla base pari a 1/2 dell'altezza della parete.
Oltre a questo incremento bisogna tener conto delle forze d'inerzia orizzontali che si destano per effetto del sisma. Tale forza viene valutata come

$$F_i = CW$$

dove W è il peso della parete e dei relativi sovraccarichi permanenti e va applicata nel baricentro dei pesi.

Strategia di soluzione

A partire dal tipo di terreno, dalla geometria e dai sovraccarichi agenti il programma è in grado di conoscere tutti i carichi agenti sulla struttura per ogni combinazione di carico.
La struttura scatolare viene schematizzata come un telaio piano e viene risolta mediante il metodo degli elementi finiti (FEM). Più dettagliatamente il telaio viene discretizzato in una serie di elementi connessi fra di loro nei nodi.
Il terreno di rinfianco e di fondazione viene invece schematizzato con una serie di elementi molle non reagenti a trazione (modello di Winkler). L'area della singola molla è direttamente proporzionale alla costante di Winkler del terreno e all'area di influenza della molla stessa.
A partire dalla matrice di rigidezza del singolo elemento, $\mathbf{K_e}$, si assembla la matrice di rigidezza di tutta la struttura **K**. Tutti i carichi agenti sulla struttura vengono trasformati in carichi nodali(reazioni di incastro perfetto) ed inseriti nel vettore dei carichi nodali **p**.
Indicando con **u** il vettore degli spostamenti nodali (incogniti), la relazione risolutiva può essere scritta nella forma

$$\mathbf{K\,u = p}$$

Da questa equazione matriciale si ricavano gli spostamenti incogniti **u**

$$\mathbf{u = K^{-1}\,p}$$

Noti gli spostamenti nodali è possibile risalire alle sollecitazioni nei vari elementi.

La soluzione del sistema viene fatta per ogni combinazione di carico agente sullo scatolare. Il successivo calcolo delle armature nei vari elementi viene condotto tenendo conto delle condizioni più gravose che si possono verificare nelle sezioni fra tutte le combinazioni di carico.

Geometria scatolare

Descrizione:	Scatolare semplice	
Altezza esterna	2.00	[m]
Larghezza esterna	5.00	[m]
Lunghezza mensola di fondazione sinistra	0.40	[m]
Lunghezza mensola di fondazione destra	0.40	[m]
Spessore piedritto sinistro	0.40	[m]
Spessore piedritto destro	0.40	[m]
Spessore fondazione	0.40	[m]
Spessore traverso	0.40	[m]

Caratteristiche strati terreno

Strato di rinfianco

Descrizione	Terreno di rinfianco	
Peso di volume	1800.00	[kg/mc]
Peso di volume saturo	1900.00	[kg/mc]
Angolo di attrito	30.00	[°]
Angolo di attrito terreno struttura	20.00	[°]
Coesione	0.00	[kg/cmq]
Costante di Winkler	5.00	[kg/cmq/cm]

Strato di base

Descrizione	Terreno di base	
Peso di volume	1800.00	[kg/mc]
Peso di volume saturo	1900.00	[kg/mc]
Angolo di attrito	30.00	[°]
Angolo di attrito terreno struttura	20.00	[°]
Coesione	0.00	[kg/cmq]
Costante di Winkler	5.00	[kg/cmq/cm]
Tensione limite	2.00	[kg/cmq]

Caratteristiche materiali utilizzati

Materiale calcestruzzo

R_{ck} calcestruzzo	305.91	[kg/cmq]
Peso specifico calcestruzzo	2500.00	[kg/mc]
Modulo elastico E	315870.94	[kg/cmq]
Tensione di snervamento acciaio	4588.65	[kg/cmq]
Coeff. omogeneizzazione cls teso/compresso (n')	0.50	
Coeff. omogeneizzazione acciaio/cls (n)	15.00	
Coefficiente dilatazione termica	0.0000120	

Condizioni di carico

Convenzioni adottate
Origine in corrispondenza dello spigolo inferiore sinistro della struttura
Carichi verticali positivi se diretti verso il basso
Carichi orizzontali positivi se diretti verso destra
Coppie concentrate positive se antiorarie
Ascisse X (espresse in m) positive verso destra
Ordinate Y (espresse in m) positive verso l'alto
Carichi concentrati espressi in kg
Coppie concentrate espressi in kgm
Carichi distribuiti espressi in kg/m

Simbologia adottata e unità di misura
Forze concentrate
X ascissa del punto di applicazione dei carichi verticali concentrati
Y ordinata del punto di applicazione dei carichi orizzontali concentrati
F_y componente Y del carico concentrato
F_x componente X del carico concentrato
M momento
Forze distribuite
X_i, X_f ascisse del punto iniziale e finale per carichi distribuiti verticali
Y_i, Y_f ordinate del punto iniziale e finale per carichi distribuiti orizzontali
V_{ni} componente normale del carico distribuito nel punto iniziale
V_{nf} componente normale del carico distribuito nel punto finale
V_{ti} componente tangenziale del carico distribuito nel punto iniziale
V_{tf} componente tangenziale del carico distribuito nel punto finale
D_{te} variazione termica lembo esterno espressa in gradi centigradi
D_{ti} variazione termica lembo interno espressa in gradi centigradi

Condizione di carico n°1 (Peso Proprio)

Condizione di carico n°2 (Spinta terreno sinistra)

Condizione di carico n°3 (Spinta terreno destra)

Condizione di carico n°4 (Sisma da sinistra)

Condizione di carico n°5 (Sisma da destra)

Condizione di carico n° 7 (Condizione 1)
Distr Traverso X_i= 0.40 X_f= 5.40 V_{ni}= 1500 V_{nf}= 1500 V_{ti}= 0 V_{tf}= 0

Impostazioni di progetto

Verifica materiali:
Stato Limite Ultimo

Coefficiente di sicurezza calcestruzzo γ_c	1.50
Fattore riduzione da resistenza cubica a cilindrica	0.83
Fattore di riduzione per carichi di lungo periodo	0.85
Coefficiente di sicurezza acciaio	1.15
Coefficiente di sicurezza per la sezione	1.00

Verifica Taglio - Metodo dell'inclinazione variabile del traliccio

$V_{Rd}=[0.18*k*(100.0*\rho_l*fck)^{1/3}/\gamma_c+0.15*\sigma_{cp}]*bw*d>(vmin+0.15*\sigma_{cp})*b_w*d$
$V_{Rsd}=0.9*d*A_{sw}/s*fyd*(ctg\alpha+ctg\theta)*sin\alpha$
$V_{Rcd}=0.9*d*b_w*\alpha_c*fcd'*(ctg(\theta)+ctg(\alpha)/(1.0+ctg\theta^2)$
con:

d	altezza utile sezione [mm]
b_w	larghezza minima sezione [mm]
σ_{cp}	tensione media di compressione [N/mmq]
ρ_l	rapporto geometrico di armatura
A_{sw}	area armatuta trasversale [mmq]
s	interasse tra due armature trasversali consecutive [mm]
α_c	coefficiente maggiorativo, funzione di fcd e σ_{cp}

$fcd'=0.5*fcd$
$k=1+(200/d)^{1/2}$
$vmin=0.035*k^{3/2}*fck^{1/2}$

Stato Limite di Esercizio

Criteri di scelta per verifiche tensioni di esercizio:
Ambiente poco aggressivo

Limite tensioni di compressione nel calcestruzzo (comb. rare)	0.60 f_{ck}
Limite tensioni di compressione nel calcestruzzo (comb. quasi perm.)	0.45 f_{ck}
Limite tensioni di trazione nell'acciaio (comb. rare)	0.80 f_{yk}

Criteri verifiche a fessurazione:
Armatura poco sensibile
Apertura limite fessure espresse in [mm]
Apertura limite fessure w1=0.20 w2=0.30 w3=0.40
Metodo di calcolo aperture delle fessure:
- NTC 2018 - C4.1.2.2.4.5
Resistenza a trazione per **Flessione**

Verifiche secondo :
Norme Tecniche 2018 - Approccio 2

Copriferro sezioni 3.00 [cm]

Descrizione combinazioni di carico

Simbologia adottata

γ Coefficiente di partecipazione della condizione
Ψ Coefficiente di combinazione della condizione
C Coefficiente totale di partecipazione della condizione

Norme Tecniche 2018

Simbologia adottata

γ_{G1sfav} Coefficiente parziale sfavorevole sulle azioni permanenti
γ_{G1fav} Coefficiente parziale favorevole sulle azioni permanenti
γ_{G2sfav} Coefficiente parziale sfavorevole sulle azioni permanenti non strutturali
γ_{G2fav} Coefficiente parziale favorevole sulle azioni permanenti non strutturali
γ_{Q} Coefficiente parziale sulle azioni variabili
$\gamma_{tan\phi'}$ Coefficiente parziale di riduzione dell'angolo di attrito drenato
$\gamma_{c'}$ Coefficiente parziale di riduzione della coesione drenata
γ_{cu} Coefficiente parziale di riduzione della coesione non drenata
γ_{qu} Coefficiente parziale di riduzione del carico ultimo

Coefficienti di partecipazione combinazioni statiche

Coefficienti parziali per le azioni o per l'effetto delle azioni:

Carichi	*Effetto*		*A1*	*A2*
Permanenti	Favorevole	γ_{G1fav}	1.00	1.00
Permanenti	Sfavorevole	γ_{G1sfav}	1.30	1.00
Permanenti non strutturali	Favorevole	γ_{G2fav}	0.80	0.80
Permanenti non strutturali	Sfavorevole	γ_{G2sfav}	1.50	1.30
Variabili	Favorevole	γ_{Qifav}	0.00	0.00
Variabili	Sfavorevole	γ_{Qisfav}	1.50	1.30
Variabili da traffico	Favorevole	γ_{Qfav}	0.00	0.00
Variabili da traffico	Sfavorevole	γ_{Qsfav}	1.35	1.15
Termici	Favorevole	$\gamma_{\varepsilon fav}$	0.00	0.00
Termici	Sfavorevole	$\gamma_{\varepsilon sfav}$	1.20	1.20

Coefficienti parziali per i parametri geotecnici del terreno:

Parametri		*M1*	*M2*
Tangente dell'angolo di attrito	$\gamma_{tan\phi'}$	1.00	1.25
Coesione efficace	$\gamma_{c'}$	1.00	1.25
Resistenza non drenata	γ_{cu}	1.00	1.40
Resistenza a compressione uniassiale	γ_{qu}	1.00	1.60
Peso dell'unità di volume	γ_{γ}	1.00	1.00

Coefficienti di partecipazione combinazioni sismiche

Coefficienti parziali per le azioni o per l'effetto delle azioni:

Carichi	*Effetto*	*A1*	*A2*

Permanenti	Favorevole	γ_{G1fav}	1.00	1.00
Permanenti	Sfavorevole	γ_{G1sfav}	1.00	1.00
Permanenti	Favorevole	γ_{G2fav}	0.00	0.00
Permanenti	Sfavorevole	γ_{G2sfav}	1.00	1.00
Variabili	Favorevole	γ_{Qifav}	0.00	0.00
Variabili	Sfavorevole	γ_{Qisfav}	1.00	1.00
Variabili da traffico	Favorevole	γ_{Qfav}	0.00	0.00
Variabili da traffico	Sfavorevole	γ_{Qsfav}	1.00	1.00
Termici	Favorevole	$\gamma_{\varepsilon fav}$	0.00	0.00
Termici	Sfavorevole	$\gamma_{\varepsilon sfav}$	1.00	1.00

Coefficienti parziali per i parametri geotecnici del terreno:

Parametri		*M1*	*M2*
Tangente dell'angolo di attrito	$\gamma_{\tan\phi'}$	1.00	1.00
Coesione efficace	$\gamma_{c'}$	1.00	1.00
Resistenza non drenata	γ_{cu}	1.00	1.00
Resistenza a compressione uniassiale	γ_{qu}	1.00	1.00
Peso dell'unità di volume	γ_{γ}	1.00	1.00

Combinazione n° 1 SLU (Approccio 2)

	Effetto	**γ**	**Ψ**	**C**
Peso Proprio	Sfavorevole	1.30	1.00	1.30
Spinta terreno sinistra	Sfavorevole	1.30	1.00	1.30
Spinta terreno destra	Sfavorevole	1.30	1.00	1.30
Condizione 1	Sfavorevole	1.35	1.00	1.35

Combinazione n° 2 SLU (Approccio 2) - Sisma Vert. positivo

	Effetto	**γ**	**Ψ**	**C**
Peso Proprio	Sfavorevole	1.00	1.00	1.00
Spinta terreno sinistra	Sfavorevole	1.00	1.00	1.00
Spinta terreno destra	Sfavorevole	1.00	1.00	1.00
Sisma da sinistra	Sfavorevole	1.00	1.00	1.00
Condizione 1	Sfavorevole	1.00	1.00	1.00

Combinazione n° 3 SLU (Approccio 2) - Sisma Vert. negativo

	Effetto	**γ**	**Ψ**	**C**
Peso Proprio	Sfavorevole	1.00	1.00	1.00
Spinta terreno sinistra	Sfavorevole	1.00	1.00	1.00
Spinta terreno destra	Sfavorevole	1.00	1.00	1.00
Sisma da sinistra	Sfavorevole	1.00	1.00	1.00
Condizione 1	Sfavorevole	1.00	1.00	1.00

Combinazione n° 4 SLU (Approccio 2) - Sisma Vert. positivo

	Effetto	γ	Ψ	C
Peso Proprio	Sfavorevole	1.00	1.00	1.00
Spinta terreno sinistra	Sfavorevole	1.00	1.00	1.00
Spinta terreno destra	Sfavorevole	1.00	1.00	1.00
Sisma da destra	Sfavorevole	1.00	1.00	1.00
Condizione 1	Sfavorevole	1.00	1.00	1.00

Combinazione n° 5 SLU (Approccio 2) - Sisma Vert. negativo

	Effetto	γ	Ψ	C
Peso Proprio	Sfavorevole	1.00	1.00	1.00
Spinta terreno sinistra	Sfavorevole	1.00	1.00	1.00
Spinta terreno destra	Sfavorevole	1.00	1.00	1.00
Sisma da destra	Sfavorevole	1.00	1.00	1.00
Condizione 1	Sfavorevole	1.00	1.00	1.00

Combinazione n° 6 SLE (Quasi Permanente)

	Effetto	γ	Ψ	C
Peso Proprio	Sfavorevole	1.00	1.00	1.00
Spinta terreno sinistra	Sfavorevole	1.00	1.00	1.00
Spinta terreno destra	Sfavorevole	1.00	1.00	1.00

Combinazione n° 7 SLE (Frequente)

	Effetto	γ	Ψ	C
Peso Proprio	Sfavorevole	1.00	1.00	1.00
Spinta terreno sinistra	Sfavorevole	1.00	1.00	1.00
Spinta terreno destra	Sfavorevole	1.00	1.00	1.00
Condizione 1	Sfavorevole	1.00	0.40	0.40

Combinazione n° 8 SLE (Rara)

	Effetto	γ	Ψ	C
Peso Proprio	Sfavorevole	1.00	1.00	1.00
Spinta terreno sinistra	Sfavorevole	1.00	1.00	1.00
Spinta terreno destra	Sfavorevole	1.00	1.00	1.00
Condizione 1	Sfavorevole	1.00	1.00	1.00

Analisi della spinta e verifiche

Simbologia adottata ed unità di misura
Origine in corrispondenza dello spigolo inferiore sinistro della struttura
Le forze orizzontali sono considerate positive se agenti verso destra
Le forze verticali sono considerate positive se agenti verso il basso

X	ascisse (espresse in m) positive verso destra
Y	ordinate (espresse in m) positive verso l'alto
M	momento espresso in kgm
V	taglio espresso in kg
SN	sforzo normale espresso in kg
ux	spostamento direzione X espresso in cm
uy	spostamento direzione Y espresso in cm
σ_t	pressione sul terreno espressa in kg/cmq

Tipo di analisi

Pressione in calotta — Pressione geostatica
I carichi applicati sul terreno sono stati diffusi secondo **angolo di attrito**

Spinta sui piedritti	Attiva	[combinazione 1]
	Attiva	[combinazione 2]
	Attiva	[combinazione 3]
	Attiva	[combinazione 4]
	Attiva	[combinazione 5]
	Attiva	[combinazione 6]
	Attiva	[combinazione 7]
	Attiva	[combinazione 8]

Sisma

Identificazione del sito

Latitudine	40.250975
Longitudine	16.699144
Comune	Scanzano Jonico
Provincia	Matera
Regione	Basilicata
Punti di interpolazione del reticolo	35680 - 35458 - 35457 - 35679

Tipo di opera

Tipo di costruzione	Opera ordinaria
Vita nominale	50 anni
Classe d'uso	II - Normali affollamenti e industrie non pericolose
Vita di riferimento	50 anni

Combinazioni SLU

Accelerazione al suolo a_g =	0.71 [m/s^2]
Coefficiente di amplificazione per tipo di sottosuolo (S)	1.20
Coefficiente di amplificazione topografica (St)	1.00

Coefficiente riduzione (β_m)	1.00
Rapporto intensità sismica verticale/orizzontale	0.50
Coefficiente di intensità sismica orizzontale (percento)	$k_h=(a_g/g*\beta_m*St*Ss) = 8.71$
Coefficiente di intensità sismica verticale (percento)	$k_v=0.50 * k_h = 4.35$

Combinazioni SLE

Accelerazione al suolo a_g =	0.33 [m/s^2]
Coefficiente di amplificazione per tipo di sottosuolo (S)	1.20
Coefficiente di amplificazione topografica (St)	1.00
Coefficiente riduzione (β_m)	1.00
Rapporto intensità sismica verticale/orizzontale	0.50
Coefficiente di intensità sismica orizzontale (percento)	$k_h=(a_g/g*\beta_m*St*Ss) = 4.07$
Coefficiente di intensità sismica verticale (percento)	$k_v=0.50 * k_h = 2.03$
Forma diagramma incremento sismico	Rettangolare

Spinta sismica	Mononobe-Okabe

Angolo diffusione sovraccarico	30.00 [°]

Coefficienti di spinta

N°combinazione	Statico	Sismico
1	0.297	0.000
2	0.297	0.370
3	0.297	0.345
4	0.297	0.370
5	0.297	0.345
6	0.297	0.000
7	0.297	0.000
8	0.297	0.000

Discretizzazione strutturale

Numero elementi fondazione	65
Numero elementi traverso	24
Numero elementi piedritto sinistro	18
Numero elementi piedritto destro	18
Numero molle fondazione	66
Numero molle piedritto sinistro	19
Numero molle piedritto destro	19